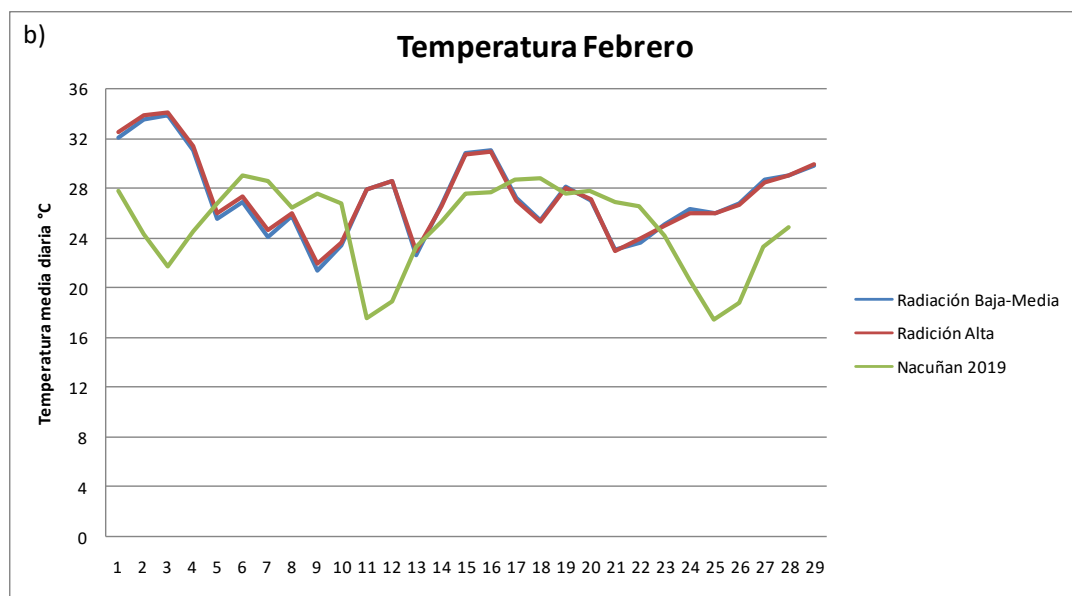
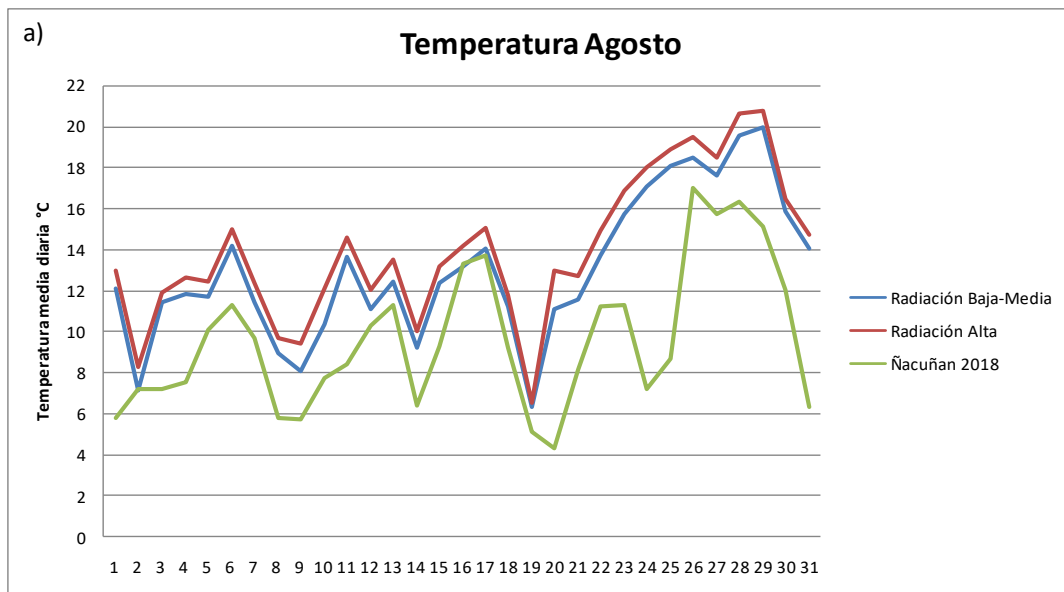


## MATERIAL SUPLEMENTARIO

**Figura S1.** Comparación de a) temperaturas medias diarias registradas en el mes de agosto para los niveles de radiación baja-media y alta en el año 2019, y las registradas en Ñacuñán en 2018; b) temperaturas medias diarias registradas en febrero para los niveles de radiación baja-media y alta en 2020, y en Ñacuñán en el 2019.

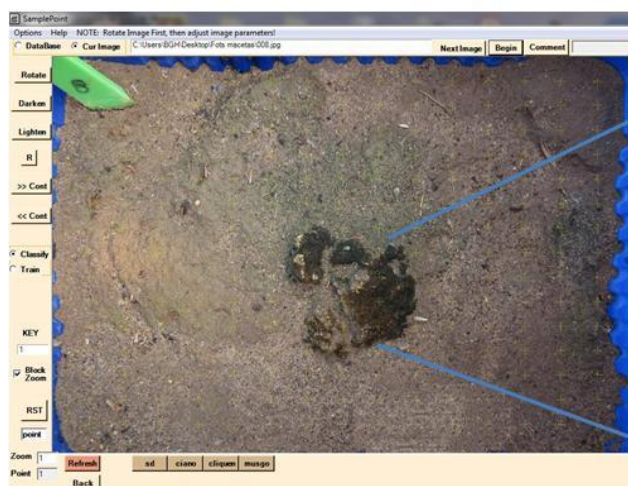
**Figure S1.** Comparison of a) average daily temperatures recorded in August for the low-medium and high radiation levels in 2019, and those recorded in Ñacuñán in 2018; b) average daily temperatures recorded in February for the levels of low-medium and high radiation levels in 2020, and those recorded in Ñacuñán in 2019.



**Figura S2.** Fotografías de macetas analizadas con el software SamplePoint para calcular la cobertura de costras biológicas del suelo. A la izquierda (A.a y B.a) se muestra la fotografía de una maceta en su totalidad con la grilla de 225 puntos; a la derecha (A.b y B.b) se muestra la imagen aumentada, con una cruz roja indicando el punto próximo a analizar y cruces amarillas que hacen referencias a los puntos ya analizados o a analizar. A) En una maceta sembrada con cianolíquenes se observa el crecimiento de cianobacterias. B) Maceta sembrada con musgos.

**Figure S2.** Photographs of pots analyzed with SamplePoint software to calculate biological soil crust cover. On the left (A.a y B.a), the photograph shows a pot with the 225-point grid, with the enlarged image on the right (A.b y B.b), with a red cross indicating the point to be analyzed and yellow crosses referring to the points already analyzed or to be analyzed. A) In a pot sown with cyanolichens, the growth of cyanobacteria is evident. B) Pot sown with mosses.

A. a.



A. b.



B. a.



B. b.

